

Repaso Modulación Digital

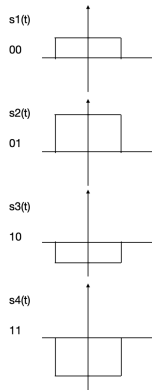
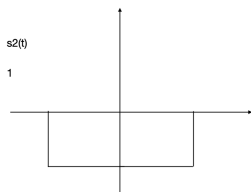
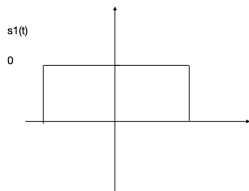
G. Belcredi, P. Belzarena

Comunicaciones inalámbricas

2023

Modulación lineal

Formas de onda a transmitir



$$\text{rect}(t) = \begin{cases} 1, & \text{si } |t| \leq 1/2 \\ 0, & \text{sino.} \end{cases}$$

Formas de onda en la antena o medio físico

- Utilizo un conjunto de formas de onda $\mathcal{S} = \{s_1(t), s_2(t), \dots, s_M(t)\}$ para transmitir $\log_2(M)$ bits.
- Cuando $s(t) \in \mathcal{L}_2$, es decir $s(t) : \mathbb{R} \rightarrow \mathbb{C}$ tales que :

$$\int_{-\infty}^{\infty} |s(t)|^2 dt < \infty. \quad (1)$$

podemos generar \mathcal{S} con una base de funciones ortonormales $\{\phi_1(t), \phi_2(t), \dots, \phi_N(t)\}$, con $N \leq M$.

- Para cada $s_j(t)$ existen escalares a_{ij} tales que :

$$s_j(t) = \sum_{i=1}^N a_{ij} \phi_i(t) \quad (2)$$

$$a_{ij} = \int_{-\infty}^{\infty} s_j(t) \phi_i^*(t) dt \quad (3)$$

Formas de onda en la antena o medio físico

- Utilizo un conjunto de formas de onda $\mathcal{S} = \{s_1(t), s_2(t), \dots, s_M(t)\}$ para transmitir $\log_2(M)$ bits.
- Cuando $s(t) \in \mathcal{L}_2$, es decir $s(t) : \mathbb{R} \rightarrow \mathbb{C}$ tales que :

$$\int_{-\infty}^{\infty} |s(t)|^2 dt < \infty. \quad (1)$$

podemos generar \mathcal{S} con una base de funciones ortonormales $\{\phi_1(t), \phi_2(t), \dots, \phi_N(t)\}$, con $N \leq M$.

- Para cada $s_j(t)$ existen escalares a_{ij} tales que :

$$s_j(t) = \sum_{i=1}^N a_{ij} \phi_i(t) \quad (2)$$

$$a_{ij} = \int_{-\infty}^{\infty} s_j(t) \phi_i^*(t) dt \quad (3)$$

Formas de onda en la antena o medio físico

- Utilizo un conjunto de formas de onda $\mathcal{S} = \{s_1(t), s_2(t), \dots, s_M(t)\}$ para transmitir $\log_2(M)$ bits.
- Cuando $s(t) \in \mathcal{L}_2$, es decir $s(t) : \mathbb{R} \rightarrow \mathbb{C}$ tales que :

$$\int_{-\infty}^{\infty} |s(t)|^2 dt < \infty. \quad (1)$$

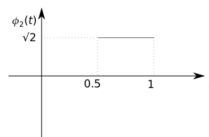
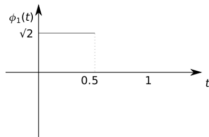
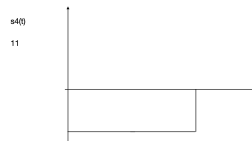
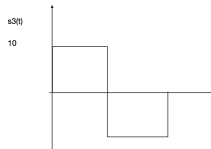
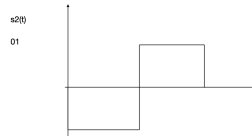
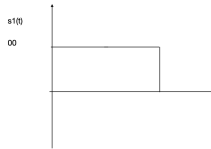
podemos generar \mathcal{S} con una base de funciones ortonormales $\{\phi_1(t), \phi_2(t), \dots, \phi_N(t)\}$, con $N \leq M$.

- Para cada $s_j(t)$ existen escalares a_{ij} tales que :

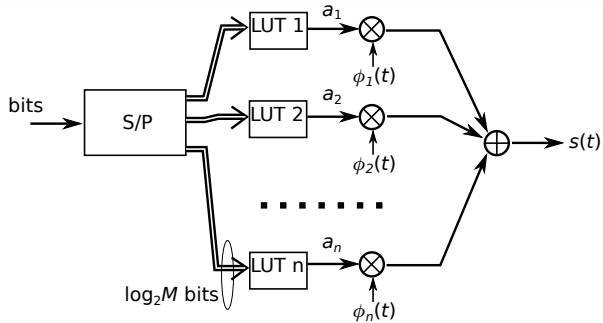
$$s_j(t) = \sum_{i=1}^N a_{ij} \phi_i(t) \quad (2)$$

$$a_{ij} = \int_{-\infty}^{\infty} s_j(t) \phi_i^*(t) dt \quad (3)$$

Formas de onda, base y dimensión



Esquema de transmisor



LUT 1	
00	1
01	1
10	-1
11	-1

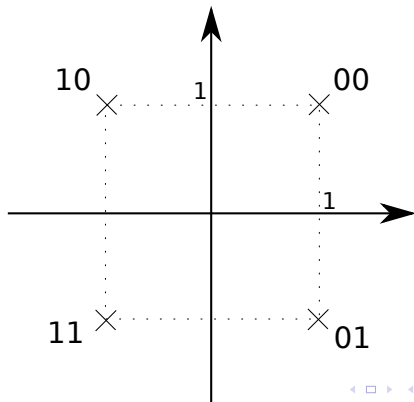
LUT 2	
00	1
01	-1
10	1
11	-1

Espacio de señales

- Correspondencia $s_j(t) \rightarrow \mathbf{s}_j = (a_{1j}, a_{2j}, \dots, a_{Nj})$, decimos que \mathbf{s}_j es un punto de la constelación.
- La constelación es el conjunto $\{\mathbf{s}_{j=1, \dots, M}\}$, y representa al conjunto de formas de onda.

Espacio de señales

- Correspondencia $s_j(t) \rightarrow \mathbf{s}_j = (a_{1j}, a_{2j}, \dots, a_{Nj})$, decimos que \mathbf{s}_j es un punto de la constelación.
- La constelación es el conjunto $\{\mathbf{s}_{j=1, \dots, M}\}$, y representa al conjunto de formas de onda.



¿Qué sucede en el canal con las formas de onda ?

¿Qué podemos hacer en el receptor para recuperar los bits ?

- Lo que recibimos no es una de las formas de onda enviadas y muy probablemente puede no pertenecer al subespacio S .
- ¿Qué hacemos para obtener la forma que más probablemente se envió ?
- ¿Qué criterio usamos para indicar cuál es la forma “más cercana” ?

¿Qué podemos hacer en el receptor para recuperar los bits ?

- Lo que recibimos no es una de las formas de onda enviadas y muy probablemente puede no pertenecer al subespacio S .
- ¿Qué hacemos para obtener la forma que más probablemente se envió ?
- ¿Qué criterio usamos para indicar cuál es la forma “más cercana” ?

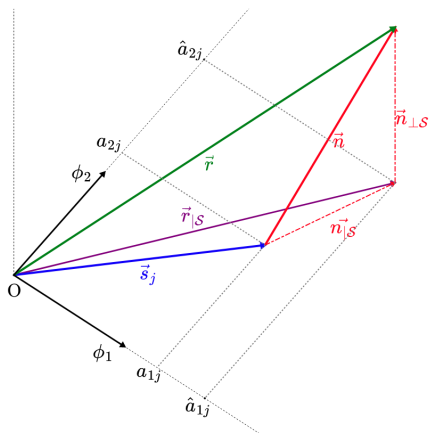
¿Qué podemos hacer en el receptor para recuperar los bits ?

- Lo que recibimos no es una de las formas de onda enviadas y muy probablemente puede no pertenecer al subespacio S .
- ¿Qué hacemos para obtener la forma que más probablemente se envió ?
- ¿Qué criterio usamos para indicar cuál es la forma “más cercana” ?

Señal recibida

A la salida del canal tenemos la señal transmitida más ruido :

$$r(t) = s(t) + n(t) \rightarrow \mathbf{r} = \mathbf{s} + \mathbf{n}$$



Producto interno y proyección

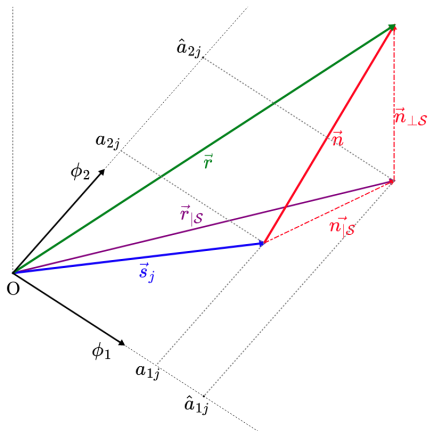
$$\begin{aligned} \langle \mathbf{u}, \mathbf{v} \rangle &= \sum_i u_i v_i^* \\ &= \int_{-\infty}^{\infty} u(t) v^*(t) dt \\ &= \langle u(t), v(t) \rangle \end{aligned}$$

$$\mathbf{v}|_S = \sum_{i=1}^N \langle \mathbf{v}, \phi_i \rangle \phi_i$$

Señal recibida

A la salida del canal tenemos la señal transmitida más ruido :

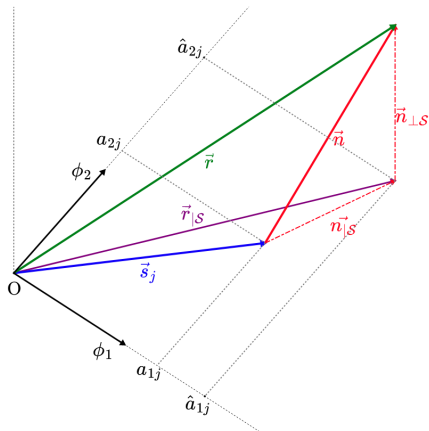
$$r(t) = s(t) + n(t) \rightarrow \mathbf{r} = \mathbf{s} + \mathbf{n}$$



Producto interno y proyección

$$\begin{aligned} \langle \mathbf{u}, \mathbf{v} \rangle &= \sum_i \mathbf{u}_i \mathbf{v}_i^* \\ &= \int_{-\infty}^{\infty} u(t) v^*(t) dt \\ &= \langle u(t), v(t) \rangle \end{aligned}$$

$$\mathbf{v}_{|S} = \sum_{i=1}^N \langle \mathbf{v}, \phi_i \rangle \phi_i$$

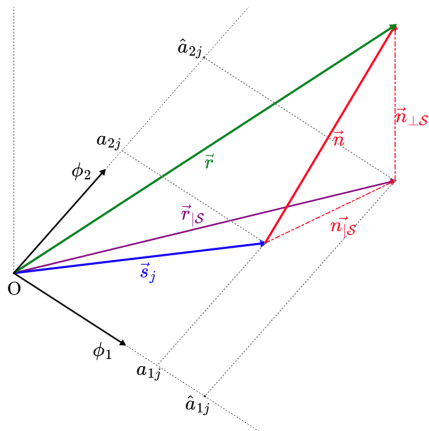
Proyección de r en \mathcal{S}

$$\mathbf{r}|_{\mathcal{S}} = \sum_{i=1}^N \hat{a}_i \phi_i$$

$$\hat{a}_i = \int_{-\infty}^{\infty} r(t) \phi_i^*(t) dt$$

Ahora que tengo $r|_{\mathcal{S}}$,
¿cuál fue la forma de
onda enviada $s_j(t)$?

Visualización 1



Proyección de \mathbf{r} en \mathcal{S}

$$\mathbf{r}|_{\mathcal{S}} = \sum_{i=1}^N \hat{a}_i \phi_i$$

$$\hat{a}_i = \int_{-\infty}^{\infty} r(t) \phi_i^*(t) dt$$

Ahora que tengo $\mathbf{r}|_{\mathcal{S}}$,
¿cuál fue la forma de
onda enviada $s_j(t)$?

Visualización 1

Decisión

Señal con diferencia de energía mínima

$$\hat{s}_j(t) = \arg \min_{s_j(t) \in \mathcal{S}} \int_{-\infty}^{\infty} |r(t) - s_j(t)|^2 dt$$

Es equivalente al siguiente problema de optimización :

Símbolo con menor distancia euclídea

$$\hat{s}_j = \arg \min_{s_j \in \mathcal{S}} \|\hat{\mathbf{a}} - \mathbf{s}_j\|^2$$

$$\|\hat{\mathbf{a}} - \mathbf{s}_j\| = \sqrt{\sum_{i=1}^N (\hat{a}_i - a_{ij})^2}$$

Decisión

Señal con diferencia de energía mínima

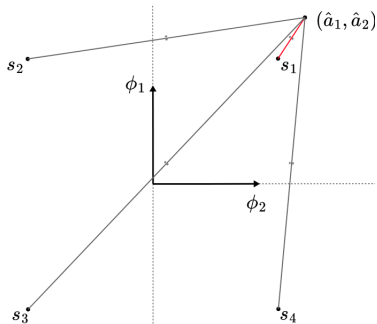
$$\hat{s}_j(t) = \arg \min_{s_j(t) \in \mathcal{S}} \int_{-\infty}^{\infty} |r(t) - s_j(t)|^2 dt$$

Es equivalente al siguiente problema de optimización :

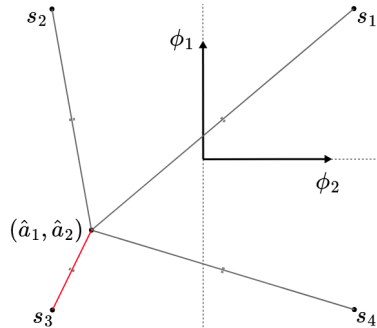
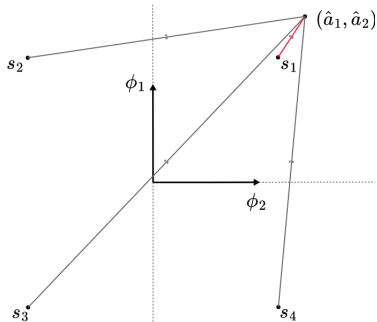
Símbolo con menor distancia euclídea

$$\hat{s}_j = \arg \min_{s_j \in \mathcal{S}} \|\hat{\mathbf{a}} - \mathbf{s}_j\|^2$$

$$\|\hat{\mathbf{a}} - \mathbf{s}_j\| = \sqrt{\sum_{i=1}^N (\hat{a}_i - a_{ij})^2}$$



Visualización 2



Visualización 2

Esquema de un receptor

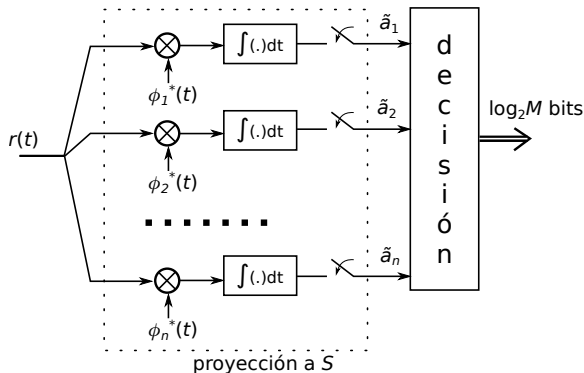


Figure – El diagrama del receptor.

¿Algún problemas práctico?

Esquema de un receptor

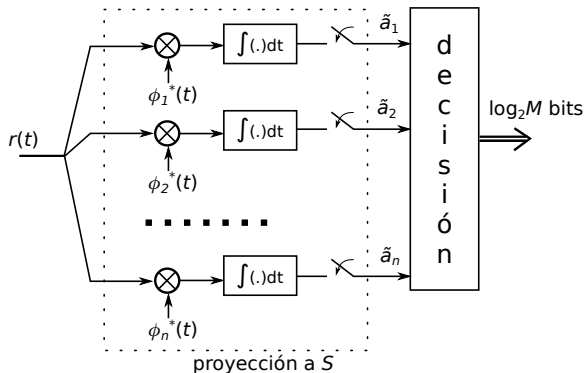


Figure – El diagrama del receptor.

¿Algún problemas práctico?

Esquema de un receptor

- Imaginemos entonces que cada función $\phi_i(t)$ tiene soporte en $t = [0, T_s)$.
- Pasemos $r(t)$ por un filtro con respuesta a impulso $h(t) = \phi_i^*(-t)$. Calculemos $x(t) = r(t) * h(t)$.

Figure – El receptor implementado con un filtro apareado.

Esquema de un receptor

- Imaginemos entonces que cada función $\phi_i(t)$ tiene soporte en $t = [0, T_s)$.
- Pasemos $r(t)$ por un filtro con respuesta a impulso $h(t) = \phi_i^*(-t)$. Calculemos $x(t) = r(t) * h(t)$.

Figure – El receptor implementado con un filtro apareado.

Esquema de un receptor

- Imaginemos entonces que cada función $\phi_i(t)$ tiene soporte en $t = [0, T_s)$.
- Pasemos $r(t)$ por un filtro con respuesta a impulso $h(t) = \phi_i^*(-t)$. Calculemos $x(t) = r(t) * h(t)$.

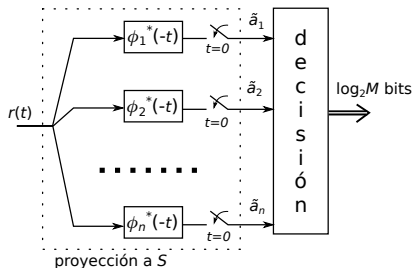


Figure – El receptor implementado con un filtro apareado.

Bibliografía de este tema

- Capítulo 1 del libro de Comina
- Del Capítulo 5 del libro de Rice (DIGITAL COMMUNICATIONS - A DISCRETE-TIME APPROACH), secciones 5.1 a 5.1.4 inclusive.
- Capítulo 5 del libro de Gallager, PRINCIPLES OF DIGITAL COMMUNICATIONS.

PAM

Pulso

- La modulación PAM tiene como base del espacio de funciones :

$$\Phi_0(t) = p(t) \quad (4)$$

- $p(t)$ es un pulso de energía uno. Es un subespacio de dimensión 1 del espacio \mathcal{L}_2 . La constelación es $\mathcal{M} = \{-A(M-1), \dots, -A, A, \dots, A(M-1)\}$
- Extenderemos esa notación y notaremos $s(t)$ a la señal correspondiente al envío de un conjunto de símbolos cada uno de duración T_s :

$$s(t) = \sum_k a_k p(t - kT_s) \quad (5)$$

PAM

Pulso

- La modulación PAM tiene como base del espacio de funciones :

$$\Phi_0(t) = p(t) \quad (4)$$

- $p(t)$ es un pulso de energía uno. Es un subespacio de dimensión 1 del espacio \mathcal{L}_2 . La constelación es $\mathcal{M} = \{-A(M-1), \dots, -A, A, \dots, A(M-1)\}$
- Extenderemos esa notación y notaremos $s(t)$ a la señal correspondiente al envío de un conjunto de símbolos cada uno de duración T_s :

$$s(t) = \sum_k a_k p(t - kT_s) \quad (5)$$

PAM

Pulso

- La modulación PAM tiene como base del espacio de funciones :

$$\Phi_0(t) = p(t) \quad (4)$$

- $p(t)$ es un pulso de energía uno. Es un subespacio de dimensión 1 del espacio \mathcal{L}_2 . La constelación es $\mathcal{M} = \{-A(M-1), \dots, -A, A, \dots, A(M-1)\}$
- Extenderemos esa notación y notaremos $s(t)$ a la señal correspondiente al envío de un conjunto de símbolos cada uno de duración T_s :

$$s(t) = \sum_k a_k p(t - kT_s) \quad (5)$$

PAM bandabase

Transmisor/Receptor

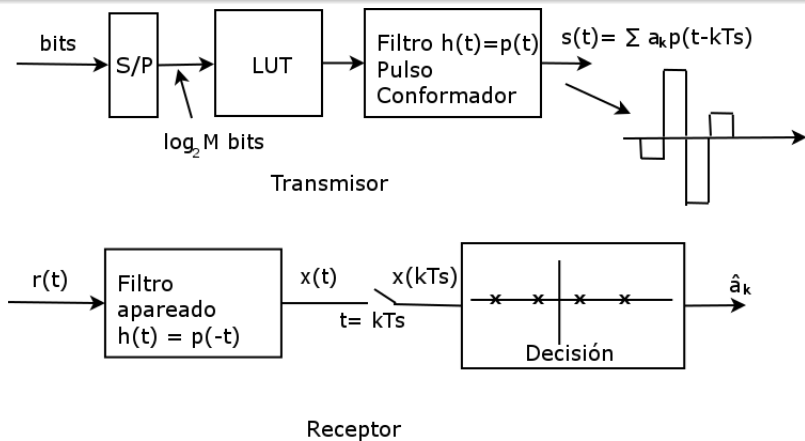


Figure – PAM transmisor/receptor

PAM

Transmisor Digital

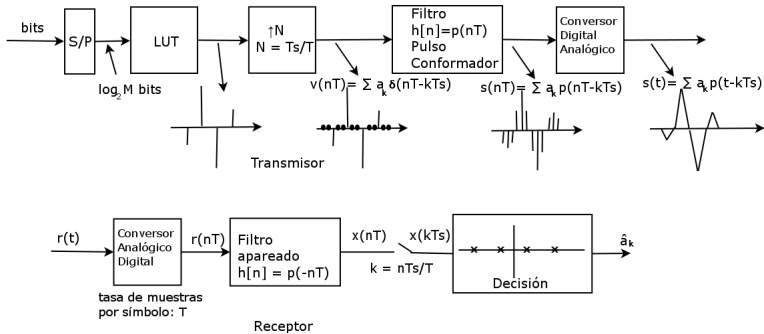


Figure – Diagrama transmisor/receptor PAM digital

PAM

Espectro pasa banda

$$\begin{aligned}
 s(t) &= 2 \operatorname{Re}(s_b(t)e^{j2\pi f_c t}) \\
 &= 2s_b(t) \cos(2\pi f_c t)
 \end{aligned}$$

$$S(f) = S_b(f + f_c) + S_b(f - f_c)$$

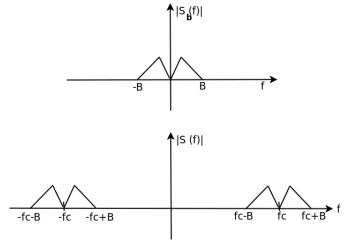


Figure – Espectro de modulación PAM pasabanda

QAM

Introducción

- QAM es similar a PAM pasabanda salvo porque su forma de onda en bandabase es compleja y no real.
- La base de funciones que se utiliza estará definida por las siguientes señales :

$$\Phi_0(t) = \sqrt{2}p(t) \cos(2\pi f_c t) \quad (6)$$

$$\Phi_1(t) = -\sqrt{2}p(t) \sin(2\pi f_c t)$$

Donde $p(t)$ es un pulso conformador.

QAM

Introducción

- QAM es similar a PAM pasabanda salvo porque su forma de onda en bandabase es compleja y no real.
- La base de funciones que se utiliza estará definida por las siguientes señales :

$$\Phi_0(t) = \sqrt{2}p(t) \cos(2\pi f_c t) \quad (6)$$

$$\Phi_1(t) = -\sqrt{2}p(t) \sin(2\pi f_c t)$$

Donde $p(t)$ es un pulso conformador.

QAM

Componente en fase y cuadratura

- Los bits se mapean a símbolos $a_k = a_{k0} + ja_{k1}$ complejos. Se pasan por el pulso conformador obteniendo la señal bandabase :

$$s_b(t) = \sum_k a_k p(t - kT_s)$$

- Se lleva a frecuencia f_c y se toma su parte real para transmitirla :

$$s(t) = \sqrt{2} \sum_k \operatorname{Re} \{ a_k p(t - kT_s) e^{j2\pi f_c t} \}$$

$$s(t) = \underbrace{\sqrt{2} \sum_k a_{k0} p(t - kT_s)}_{I(t)} \cos(2\pi f_c t) - \underbrace{\sqrt{2} \sum_k a_{k1} p(t - kT_s)}_{Q(t)} \sin(2\pi f_c t)$$

QAM

Componente en fase y cuadratura

- Los bits se mapean a símbolos $a_k = a_{k0} + ja_{k1}$ complejos. Se pasan por el pulso conformador obteniendo la señal bandabase :

$$s_b(t) = \sum_k a_k p(t - kT_s)$$

- Se lleva a frecuencia f_c y se toma su parte real para transmitirla :

$$s(t) = \sqrt{2} \sum_k \operatorname{Re} \{ a_k p(t - kT_s) e^{j2\pi f_c t} \}$$

$$s(t) = \underbrace{\sqrt{2} \sum_k a_{k0} p(t - kT_s)}_{I(t)} \cos(2\pi f_c t) - \underbrace{\sqrt{2} \sum_k a_{k1} p(t - kT_s)}_{Q(t)} \sin(2\pi f_c t)$$

QAM

Componente en fase y cuadratura

- Los bits se mapean a símbolos $a_k = a_{k0} + ja_{k1}$ complejos. Se pasan por el pulso conformador obteniendo la señal bandabase :

$$s_b(t) = \sum_k a_k p(t - kT_s)$$

- Se lleva a frecuencia f_c y se toma su parte real para transmitirla :

$$s(t) = \sqrt{2} \sum_k \operatorname{Re} \{ a_k p(t - kT_s) e^{j2\pi f_c t} \}$$

$$s(t) = \underbrace{\sqrt{2} \sum_k a_{k0} p(t - kT_s)}_{I(t)} \cos(2\pi f_c t) - \underbrace{\sqrt{2} \sum_k a_{k1} p(t - kT_s)}_{Q(t)} \sin(2\pi f_c t)$$

QAM

Ejemplo de Constelaciones

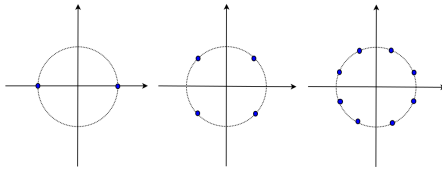


Figure – Constelaciones BPSK, QPSK y 8 PSK

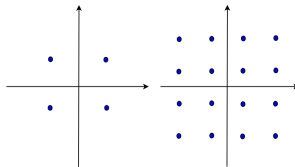


Figure – Constelaciones 4QAM y 16QAM

QAM

Transmisor y Receptor

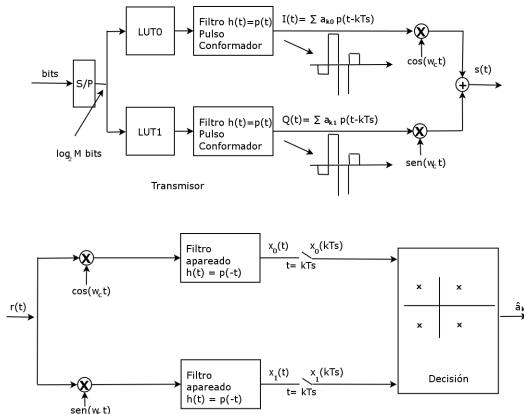


Figure – Transmisor y receptor QAM

Pulso conformador

Pulso de Nyquist

Salida del filtro apareado

En el receptor PAM bandabase tenemos que :

$$r(t) = \sum_k a_k p(t - kT_s) + w(t)$$

Con filtro apareado $h(t) = p(-t)$ y soporte $[T_1, T_2)$. La salida del filtro apareado queda :

$$\begin{aligned} x(t) &= \int_{t+T_1}^{t+T_2} \sum_k a_k p(\tau - kT_s) p(\tau - t) d\tau + \int_{t+T_1}^{t+T_2} w(\tau) p(\tau - t) d\tau \\ &= \sum_k a_k \int_{t+T_1}^{t+T_2} p(\tau - kT_s) p(\tau - t) d\tau + \eta(t) \\ &= \sum_k a_k r_p(kT_s - t) + \eta(t) \end{aligned}$$

Pulso de Nyquist

Salida del filtro apareado

En el receptor PAM bandabase tenemos que :

$$r(t) = \sum_k a_k p(t - kT_s) + w(t)$$

Con filtro apareado $h(t) = p(-t)$ y soporte $[T_1, T_2)$. La salida del filtro apareado queda :

$$\begin{aligned} x(t) &= \int_{t+T_1}^{t+T_2} \sum_k a_k p(\tau - kT_s) p(\tau - t) d\tau + \int_{t+T_1}^{t+T_2} w(\tau) p(\tau - t) d\tau \\ &= \sum_k a_k \int_{t+T_1}^{t+T_2} p(\tau - kT_s) p(\tau - t) d\tau + \eta(t) \\ &= \sum_k a_k r_p(kT_s - t) + \eta(t) \end{aligned}$$

Pulso de Nyquist

Salida del filtro apareado

En el receptor PAM bandabase tenemos que :

$$r(t) = \sum_k a_k p(t - kT_s) + w(t)$$

Con filtro apareado $h(t) = p(-t)$ y soporte $[T_1, T_2)$. La salida del filtro apareado queda :

$$\begin{aligned} x(t) &= \int_{t+T_1}^{t+T_2} \sum_k a_k p(\tau - kT_s) p(\tau - t) d\tau + \int_{t+T_1}^{t+T_2} w(\tau) p(\tau - t) d\tau \\ &= \sum_k a_k \int_{t+T_1}^{t+T_2} p(\tau - kT_s) p(\tau - t) d\tau + \eta(t) \\ &= \sum_k a_k r_p(kT_s - t) + \eta(t) \end{aligned}$$

Pulso de Nyquist

Salida del filtro apareado

En el receptor PAM bandabase tenemos que :

$$r(t) = \sum_k a_k p(t - kT_s) + w(t)$$

Con filtro apareado $h(t) = p(-t)$ y soporte $[T_1, T_2)$. La salida del filtro apareado queda :

$$\begin{aligned} x(t) &= \int_{t+T_1}^{t+T_2} \sum_k a_k p(\tau - kT_s) p(\tau - t) d\tau + \int_{t+T_1}^{t+T_2} w(\tau) p(\tau - t) d\tau \\ &= \sum_k a_k \int_{t+T_1}^{t+T_2} p(\tau - kT_s) p(\tau - t) d\tau + \eta(t) \\ &= \sum_k a_k r_p(kT_s - t) + \eta(t) \end{aligned}$$

Pulso de Nyquist

Salida del filtro apareado

En el receptor PAM bandabase tenemos que :

$$r(t) = \sum_k a_k p(t - kT_s) + w(t)$$

Con filtro apareado $h(t) = p(-t)$ y soporte $[T_1, T_2)$. La salida del filtro apareado queda :

$$\begin{aligned} x(t) &= \int_{t+T_1}^{t+T_2} \sum_k a_k p(\tau - kT_s) p(\tau - t) d\tau + \int_{t+T_1}^{t+T_2} w(\tau) p(\tau - t) d\tau \\ &= \sum_k a_k \int_{t+T_1}^{t+T_2} p(\tau - kT_s) p(\tau - t) d\tau + \eta(t) \\ &= \sum_k a_k r_p(kT_s - t) + \eta(t) \end{aligned}$$

Pulso de Nyquist

Salida del filtro apareado

$r_p(t)$ es la autocorrelación del pulso conformador :

$$r_p(t) = \int_{T_1}^{T_2} p(\tau)p(\tau - t)d\tau$$

La salida muestreada en nT_s tendrá la forma :

$$\begin{aligned} x(nT_s) &= \sum_k a_k r_p((k - n)T_s) + \eta(nT_s) \\ &= a_n r_p(0) + \sum_{k \neq n} a_k r_p((k - n)T_s) + \eta(nT_s) \end{aligned}$$

La interferencia inter-simbólica (ISI) es cero si :

$$r_p(nT_s) = \begin{cases} 1 & \text{si } n = 0 \\ 0 & \text{si } n \neq 0 \end{cases} \quad (7)$$

Pulso de Nyquist

Salida del filtro apareado

$r_p(t)$ es la autocorrelación del pulso conformador :

$$r_p(t) = \int_{T_1}^{T_2} p(\tau)p(\tau - t)d\tau$$

La salida muestreada en nT_s tendrá la forma :

$$\begin{aligned} x(nT_s) &= \sum_k a_k r_p((k - n)T_s) + \eta(nT_s) \\ &= a_n r_p(0) + \sum_{k \neq n} a_k r_p((k - n)T_s) + \eta(nT_s) \end{aligned}$$

La interferencia inter-simbólica (ISI) es cero si :

$$r_p(nT_s) = \begin{cases} 1 & \text{si } n = 0 \\ 0 & \text{si } n \neq 0 \end{cases} \quad (7)$$

Pulso de Nyquist

Salida del filtro apareado

$r_p(t)$ es la autocorrelación del pulso conformador :

$$r_p(t) = \int_{T_1}^{T_2} p(\tau)p(\tau - t)d\tau$$

La salida muestreada en nT_s tendrá la forma :

$$\begin{aligned} x(nT_s) &= \sum_k a_k r_p((k - n)T_s) + \eta(nT_s) \\ &= a_n r_p(0) + \sum_{k \neq n} a_k r_p((k - n)T_s) + \eta(nT_s) \end{aligned}$$

La interferencia inter-simbólica (ISI) es cero si :

$$r_p(nT_s) = \begin{cases} 1 & \text{si } n = 0 \\ 0 & \text{si } n \neq 0 \end{cases} \quad (7)$$

Pulso de Nyquist

Salida del filtro apareado

$r_p(t)$ es la autocorrelación del pulso conformador :

$$r_p(t) = \int_{T_1}^{T_2} p(\tau)p(\tau - t)d\tau$$

La salida muestreada en nT_s tendrá la forma :

$$\begin{aligned} x(nT_s) &= \sum_k a_k r_p((k - n)T_s) + \eta(nT_s) \\ &= a_n r_p(0) + \sum_{k \neq n} a_k r_p((k - n)T_s) + \eta(nT_s) \end{aligned}$$

La interferencia inter-simbólica (ISI) es cero si :

$$r_p(nT_s) = \begin{cases} 1 & \text{si } n = 0 \\ 0 & \text{si } n \neq 0 \end{cases} \quad (7)$$

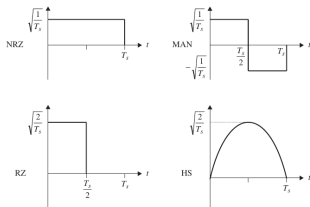


Figure A.1.1 The non-return-to-zero (NRZ), the return-to-zero (RZ), Manchester (MAN), and half-sine (HS) pulse shapes as shown.

Table A.1.2 Frequency-domain properties of the NRZ, RZ, MAN, and HS pulse shapes

Name	$ P(f) ^2$	B_{abs}	$B_{90\%}$	$B_{99\%}$	$B_{-60 \text{ dB}}$
NRZ	$ P(f) ^2 = T_s \frac{\sin^2(\pi f T_s)}{(\pi f T_s)^2}$	∞	$0.85/T_s$	$10.29/T_s$	$318.50/T_s$
RZ	$ P(f) ^2 = \frac{T_s}{2} \frac{\sin^2\left(\frac{\pi f T_s}{2}\right)}{\left(\frac{\pi f T_s}{2}\right)^2}$	∞	$1.70/T_s$	$20.57/T_s$	$637/T_s$
MAN	$ P(f) ^2 = T_s \frac{\sin^4\left(\frac{\pi f T_s}{2}\right)}{\left(\frac{\pi f T_s}{2}\right)^2}$	∞	$3.05/T_s$	$30.75/T_s$	$635/T_s$
HS	$ P(f) ^2 = \frac{T_s}{2\pi^2} \left(\frac{\cos(\pi f T_s)}{(f T_s)^2 - \frac{1}{4}} \right)^2$	∞	$0.78/T_s$	$1.18/T_s$	$15/T_s$

Figure – Algunos pulsos conformadores (Fuente : Rice)

- Los pulsos anteriores, aunque no introduzcan ISI no tienen buenas características espectrales.
- ¿Es posible concebir pulsos de soporte acotado en frecuencia que no generen ISI? La respuesta es si, relajando la condición que el pulso tenga soporte acotado en el tiempo.

Figure – Características espectrales (Fuente : Rice)

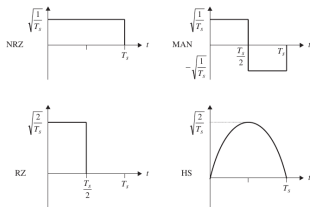


Figure A.1.1 The non-return-to-zero (NRZ), the return-to-zero (RZ), Manchester (MAN), and half-sine (HS) pulse shapes as shown.

Table A.1.2 Frequency-domain properties of the NRZ, RZ, MAN, and HS pulse shapes

Name	$ P(f) ^2$	B_{abs}	$B_{90\%}$	$B_{99\%}$	$B_{-60 \text{ dB}}$
NRZ	$ P(f) ^2 = T_s \frac{\sin^2(\pi f T_s)}{(\pi f T_s)^2}$	∞	$0.85/T_s$	$10.29/T_s$	$318.50/T_s$
RZ	$ P(f) ^2 = \frac{T_s}{2} \frac{\sin^2\left(\frac{\pi f T_s}{2}\right)}{\left(\frac{\pi f T_s}{2}\right)^2}$	∞	$1.70/T_s$	$20.57/T_s$	$637/T_s$
MAN	$ P(f) ^2 = T_s \frac{\sin^4\left(\frac{\pi f T_s}{2}\right)}{\left(\frac{\pi f T_s}{2}\right)^2}$	∞	$3.05/T_s$	$30.75/T_s$	$635/T_s$
HS	$ P(f) ^2 = \frac{T_s}{2\pi^2} \left(\frac{\cos(\pi f T_s)}{(f T_s)^2 - \frac{1}{4}} \right)^2$	∞	$0.78/T_s$	$1.18/T_s$	$15/T_s$

Figure – Algunos pulsos conformadores (Fuente : Rice)

- Los pulsos anteriores, aunque no introduzcan ISI no tienen buenas características espectrales.

- ¿Es posible concebir pulsos de soporte acotado en frecuencia que no generen ISI? La respuesta es si, relajando la condición que el pulso tenga soporte acotado en el tiempo.

Figure – Características espectrales (Fuente : Rice)

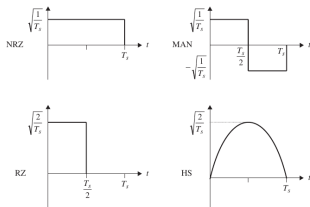


Figure A.1.1 The non-return-to-zero (NRZ), the return-to-zero (RZ), Manchester (MAN), and half-sine (HS) pulse shapes as shown.

Table A.1.2 Frequency-domain properties of the NRZ, RZ, MAN, and HS pulse shapes

Name	$ P(f) ^2$	B_{abs}	$B_{90\%}$	$B_{99\%}$	$B_{-60 \text{ dB}}$
NRZ	$ P(f) ^2 = T_s \frac{\sin^2(\pi f T_s)}{(\pi f T_s)^2}$	∞	$0.85/T_s$	$10.29/T_s$	$318.50/T_s$
RZ	$ P(f) ^2 = \frac{T_s}{2} \frac{\sin^2\left(\frac{\pi f T_s}{2}\right)}{\left(\frac{\pi f T_s}{2}\right)^2}$	∞	$1.70/T_s$	$20.57/T_s$	$637/T_s$
MAN	$ P(f) ^2 = T_s \frac{\sin^4\left(\frac{\pi f T_s}{2}\right)}{\left(\frac{\pi f T_s}{2}\right)^2}$	∞	$3.05/T_s$	$30.75/T_s$	$635/T_s$
HS	$ P(f) ^2 = \frac{T_s}{2\pi^2} \left(\frac{\cos(\pi f T_s)}{(f T_s)^2 - \frac{1}{4}} \right)^2$	∞	$0.78/T_s$	$1.18/T_s$	$15/T_s$

Figure – Algunos pulsos conformadores (Fuente : Rice)

- Los pulsos anteriores, aunque no introduzcan ISI no tienen buenas características espectrales.
- ¿Es posible concebir pulsos de soporte acotado en frecuencia que no generen ISI? La respuesta es si, relajando la condición que el pulso tenga soporte acotado en el tiempo.

Figure – Características espectrales (Fuente : Rice)

Pulso de Nyquist

Teorema

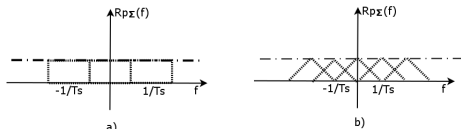
Buscamos $r_p(t)$ que tenga cruces por cero en múltiplos no nulos de nT_s , el teorema de Nyquist para no ISI define las condiciones para que un pulso cumpla esto.

Theorem (Nyquist)

Un pulso $p(t)$ es un pulso de Nyquist, si y solo si $R_p(f)$ ($R_p(f)$ TF de $r_p(t)$, y \exists esta par transformada/antitransformada) verifica :

$$R_{p\Sigma}(f) = \sum_{m=-\infty}^{\infty} R_p(f + \frac{m}{T_s}) = T_s \quad (8)$$

La condición implica que el espectro $R_{p\Sigma}(f)$ sea plano



Pulso de Nyquist

Raised Cosine

$$R_p(f) = \begin{cases} T_s & 0 \leq |f| \leq \frac{1-\alpha}{2T_s} \\ \frac{T_s}{2} \left[1 + \cos\left(\frac{\pi|f|T_s}{\alpha} - \frac{\pi(1-\alpha)}{2\alpha}\right) \right] & \frac{1-\alpha}{2T_s} \leq |f| \leq \frac{1+\alpha}{2T_s} \\ 0 & |f| > \frac{1+\alpha}{2T_s} \end{cases} \quad (9)$$

donde α es el exceso de ancho de banda.

$$r_p(t) = \text{sinc}(t/T_s) \frac{\cos(\pi\alpha t/T_s)}{1 - \left(\frac{2\alpha t}{T_s}\right)^2} \quad (10)$$

Pulso de Nyquist

Raised Cosine

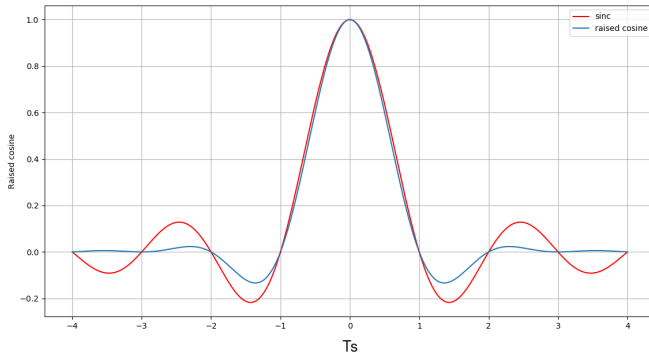


Figure – Pulso Raised Cosine en el tiempo $r_p(t)$ comparado con una función sinc

Pulso de Nyquist

Raised Cosine

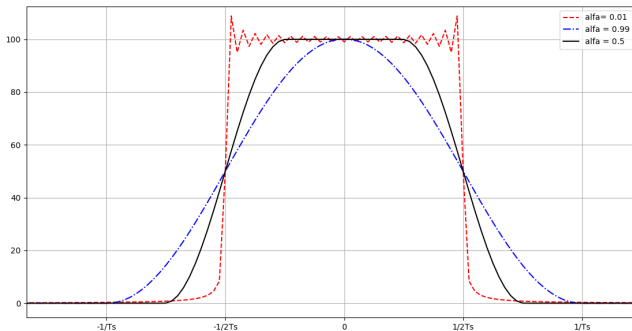


Figure – Pulso Raised Cosine en frecuencia $R_p(f)$ para diferentes valores de α